



一、图像分割问题

问题：受到噪声影响的多相图像分割问题

模型：基于模糊隶属函数和L1范数保真项的变分
多相图像分割模型



杭州电子科技大学
HANGZHOU DIANZI UNIVERSITY

二、经典模型



二、图像分割经典模型

1、FCM

$$\min_{(\mathbf{U}, \mathbf{C}) \in \Delta \times \mathbb{R}^{sN}} \sum_{i=1}^N \int_{\Omega} |I(x) - c_i|^2 u_i^p(x) dx$$

2、FCM_S2

$$\min_{(\mathbf{U}, \mathbf{C}) \in \Delta \times \mathbb{R}^{sN}} \sum_{i=1}^N \left\{ \int_{\Omega} |I(x) - c_i|^2 u_i^p(x) dx + \alpha \int_{\Omega} |\bar{I}(x) - c_i|^2 u_i^p(x) dx \right\}$$

3、FLICM(局部信息):

$$\min_{(\mathbf{U}, \mathbf{C}) \in \Delta \times \mathbb{R}^{sN}} \sum_{i=1}^N \left\{ \int_{\Omega} |I(x) - c_i|^2 u_i^p(x) dx + \alpha \int_{\Omega} \int_{y \in \mathcal{N}(x)} (1 - u_i(y))^p |I(y) - c_i|^2 u_i^p(x) dy dx \right\}$$



图像分割经典模型

4、L2FS

$$\min_{(\mathbf{U}, \mathbf{C}) \in \Delta \times \mathbb{R}^{sN}} \sum_{i=1}^N \left\{ \int_{\Omega} \|\nabla u_i(x)\| dx + \lambda \int_{\Omega} |I(x) - c_i|^2 u_i(x) dx \right\}$$

5、L1SS

$$\min_{u_1, u_2 \in [0, 1], \mathbf{C} \in \mathbb{R}^{sN}} \left\{ \sum_{i=1}^2 \int_{\Omega} \|\nabla u_i(x)\| dx + \lambda \sum_{j=1}^4 \int_{\Omega} |I(x) - c_j| M_j(x) dx \right\}$$

6、L2L0:

$$\min_u \|\nabla u\|_0 + \lambda \|u - I\|_2^2.$$



杭州电子科技大学
HANGZHOU DIANZI UNIVERSITY

三、本文模型及算法



模型

给定图像:

$$I(x) = \sum_{i=1}^N c_i u_i(x) + n(x)$$

c_i : 区域 Ω_i 给定的常值, $n(x)$: 噪声或缺失的数据

$$\min_{(\mathbf{U}, \mathbf{C}) \in \Delta \times \mathbb{R}^{sN}} E(\mathbf{U}, \mathbf{C}) = \sum_{i=1}^N \left\{ \int_{\Omega} \|\nabla u_i(x)\| dx + \lambda \int_{\Omega} |I(x) - c_i| u_i(x) dx \right\}$$

$$\Delta_0 := \left\{ (u_1, \dots, u_N) \mid u_i \in BV(\Omega), u_i(x) \in \{0, 1\}, \sum_{i=1}^N u_i(x) = 1, \forall x \in \Omega \right\}$$



算法

Algorithm 1 The proposed L1FS algorithm

- Initialization: \mathbf{U}^0 and \mathbf{C}^0 are specified, $\Lambda_{\mathbf{D}}^0 = \mathbf{0}$, $\Lambda_{\mathbf{W}}^0 = \mathbf{0}$.
- For $k = 0, 1, 2, \dots$, repeat until the stopping criterion is reached.

$$\mathbf{D}^{k+1} = \mathcal{S}\left(\nabla \mathbf{U}^k + \frac{\Lambda_{\mathbf{D}}^k}{r}, \frac{1}{r}\right),$$

$$\mathbf{W}^{k+1} = \Pi_{\Delta}\left(\mathbf{U}^k + \frac{\Lambda_{\mathbf{W}}^k}{r} - \frac{\lambda|\mathbf{I} - \mathbf{C}^k|}{r}\right),$$

$$\mathbf{C}^{k+1} = \psi(\mathbf{W}^{k+1}),$$

$$\mathbf{U}^{k+1} = \left(\nabla^T \nabla + \mathbf{I}\right)^{-1} \left(\nabla^T \mathbf{D}^{k+1} + \mathbf{W}^{k+1} - \frac{\nabla^T \Lambda_{\mathbf{D}}^k}{r} - \frac{\Lambda_{\mathbf{W}}^k}{r}\right),$$

$$\Lambda_{\mathbf{D}}^{k+1} = \Lambda_{\mathbf{D}}^k + r \left(\nabla \mathbf{U}^{k+1} - \mathbf{D}^{k+1}\right),$$

$$\Lambda_{\mathbf{W}}^{k+1} = \Lambda_{\mathbf{W}}^k + r \left(\mathbf{U}^{k+1} - \mathbf{W}^{k+1}\right).$$

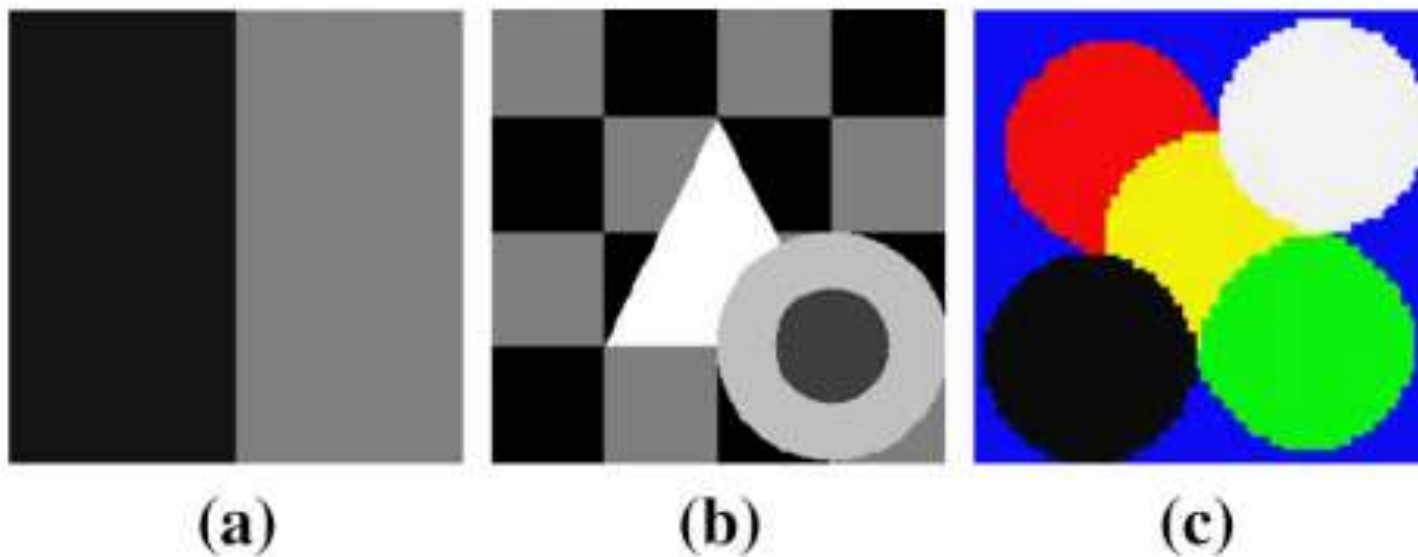
- Output: $\mathbf{C}^{k+1}, \mathbf{U}^{k+1}$.



杭州电子科技大学
HANGZHOU DIANZI UNIVERSITY

四、实验对比

实验对象



a、两相(20/128)灰度图像；b、五相(0/63/127/192/255)灰度图像；c、六相((12 11 242), (242 12 11), (242 241 242), (243 241 12), (12 12 12), (12 242 12))彩色图像



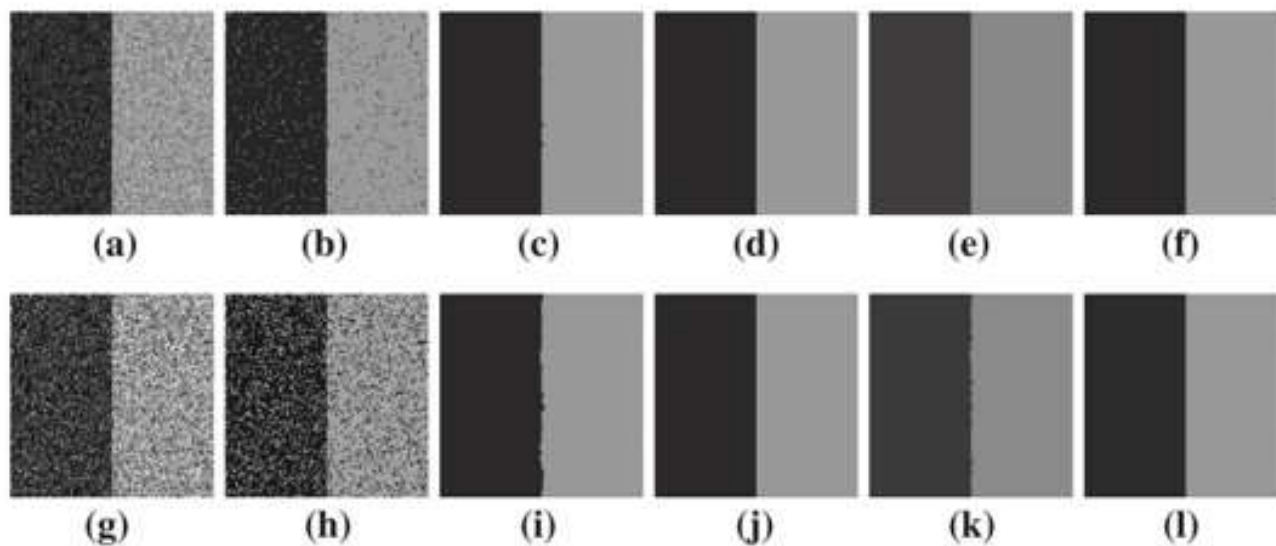
受到GN噪声影响的图像分割SA值对比

[illegible]



实验结果

当GN噪声中 $\sigma=30$ 、60时，直观分割结果



噪声影响的图像

FCM

FLICM

L2FS

L1SS

L1FS



实验结果

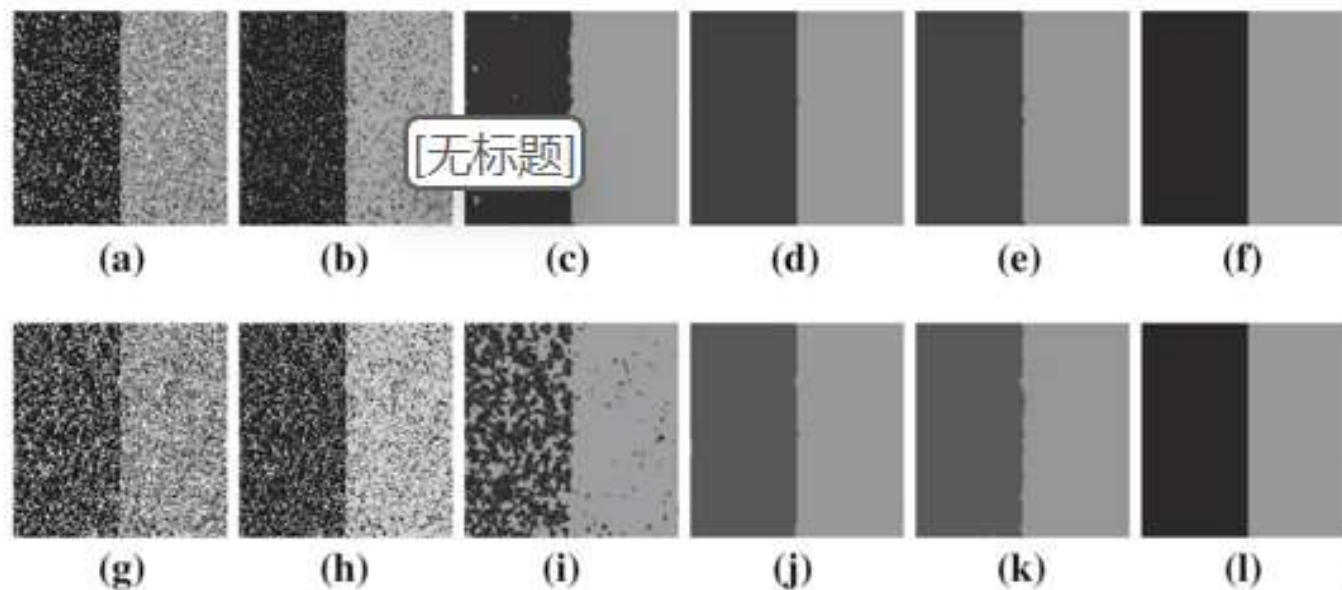
受到SPIN(散粒)噪声影响的图像分割SA值对比

SPIN (%)	10	20	30	40	50	60
FCM	0.9480	0.8983	0.8478	0.7979	0.7486	0.6980
FLICM	0.9984	0.9921	0.9738	0.8002	0.7313	0.6554
L2FS	0.9999	0.9998	0.9982	0.9983	—	—
L1SS	0.9998	0.9990	0.9977	0.9967	0.9956	0.9953
L1FS	1	1	1	1	1	0.9995



实验结果

当SPIN噪声影响为20%、40%时，直观分割结果



噪声影响的图像 FCM FLICM L2FS L1SS L1FS



实验结果

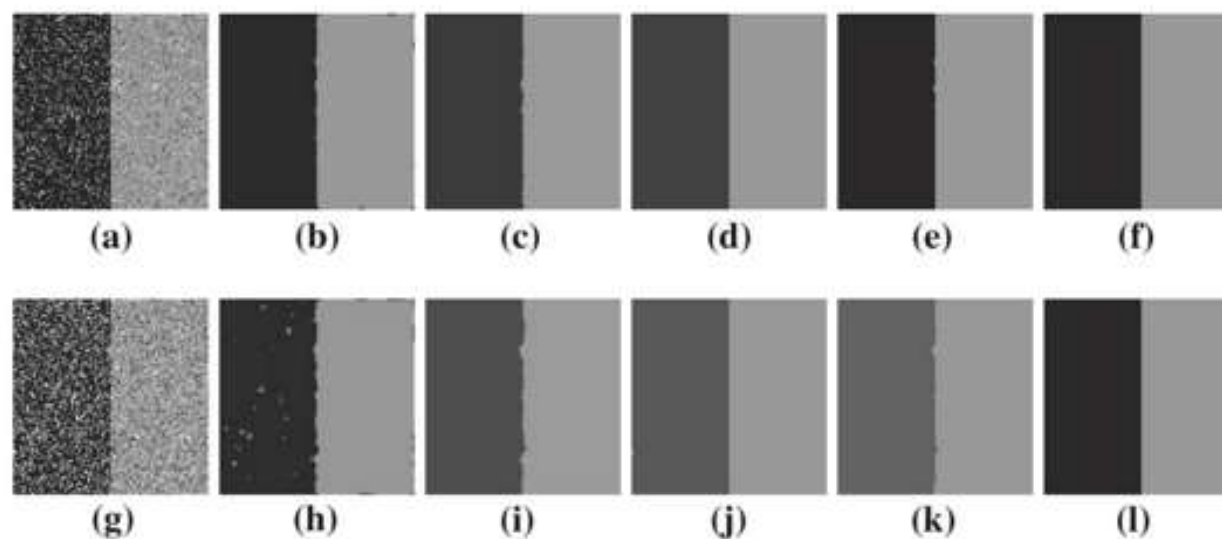
受到RVIN(脉冲)噪声影响的图像分割SA值对比

RVIN (%)	10	20	30	40	50	60
FCM_S2	0.9985	0.9972	0.9945	0.9862	0.9630	0.9042
FLICM	0.9987	0.9985	0.9970	0.9958	0.9948	0.9919
L2FS	1	1	1	0.9998	0.9995	0.9974
L1SS	1	0.9995	0.9985	0.9979	0.9966	0.9891
L1FS	1	1	1	1	1	0.9976



实验结果

当RVIN噪声影响为20%、40%时，直观分割结果



噪声影响的图像

FCM

FLICM

L2FS

L1SS

L1FS



实验结果

对图像b的实验结果：

受到 GN 噪声影响的图像分割 SA 值对比

GN (σ)	10	20	30	40	50	60	70	80
FCM	0.9987	0.8191	0.6634	0.5849	0.5233	0.4718	0.4319	0.4017
L2FS	1	0.9999	0.9994	0.9978	0.9959	0.9950	0.9931	0.9918
L1FS	1	0.9999	0.9993	0.9980	0.9964	0.9950	0.9931	0.9905

受到 SPIN 噪声影响的图像分割 SA 值对比

SPIN (%)	10	20	30	40	50	60	—	—
FCM	0.9202	0.8431	0.7638	0.6847	0.6096	0.5296	—	—
L2FS	0.9926	0.9877	0.9713	0.9673	—	—	—	—
L1FS	0.9977	0.9948	0.9923	0.9894	0.9848	0.9782	—	—

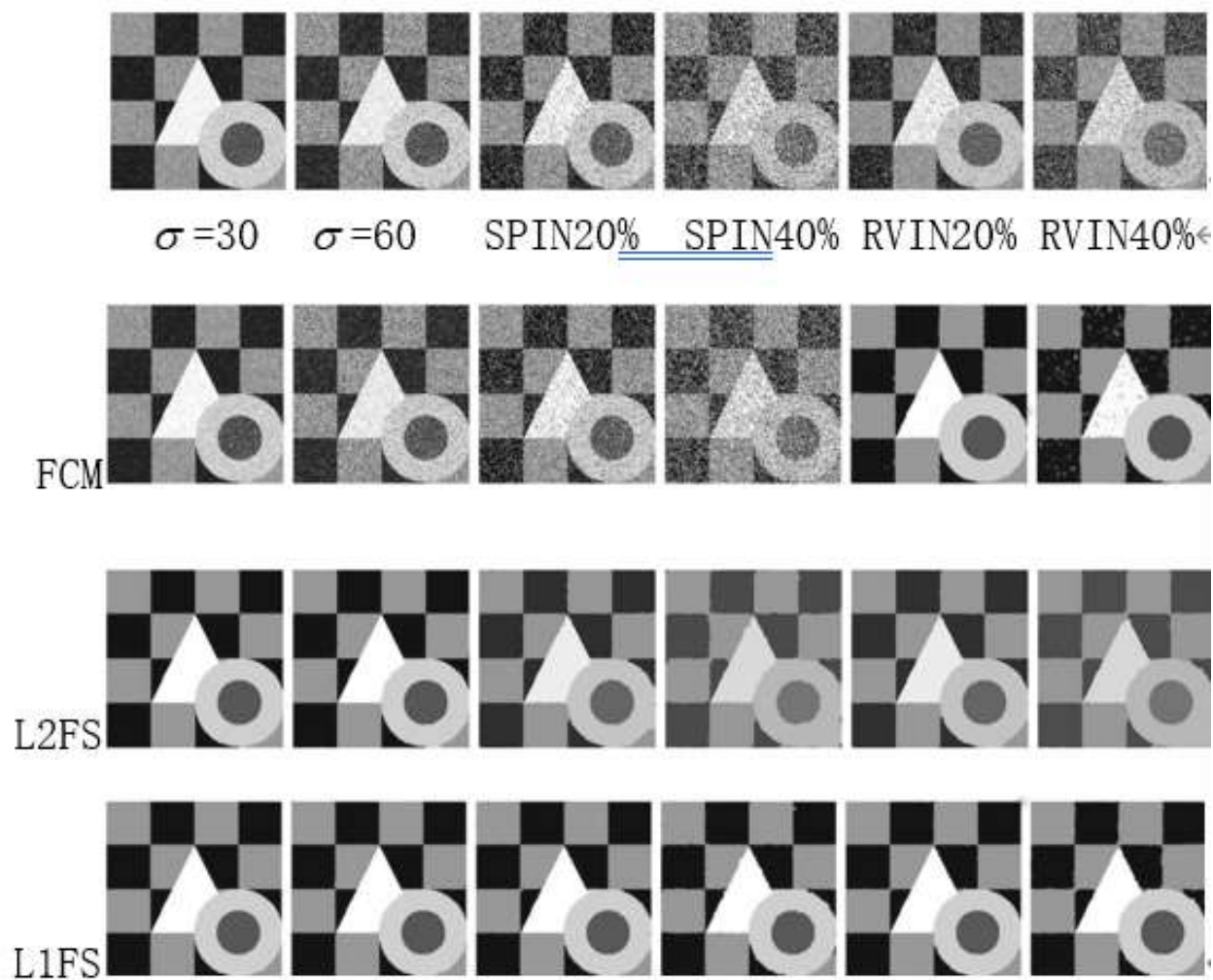
受到 RVIN 噪声影响的图像分割 SA 值对比

RVIN (%)	10	20	30	40	—	—	—	—
FCM	0.9922	0.9809	0.96672	0.9248	—	—	—	—
L2FS	0.9949	0.9923	0.9880	0.9731	—	—	—	—
L1FS	0.9976	0.9957	0.9922	0.9868	—	—	—	—



实验结果

直观分割结果:





实验结果

对图像c的实验结果：

受到 GN 噪声影响的图像分割 SA 值对比[←]

GN (σ)	10	20	30	40	50	60	70	80
FCM	1	1	0.9998	0.9958	0.7927	0.7772	0.7488	0.7205
L2FS	1	1	1	1	0.9996	0.9992	0.9989	0.9978
L2L0	1	1	1	0.9999	0.9996	0.9991	0.9983	0.9967
LIFS	1	1	1	1	0.9998	0.9994	0.9985	0.9973

受到 SPIN 噪声影响的图像分割 SA 值对比[←]

SPIN (%)	10	20	30	40	50	60	—	—
FCM	0.8498	0.7294	0.6128	0.5092	0.4248	0.3501	—	—
L2FS	0.9960	0.9925	0.9883	0.9822	0.9772	—	—	—
L2L0	0.9951	0.9880	0.9819	0.9740	0.9401	0.8752	—	—
LIFS	0.9973	0.9937	0.9897	0.9854	0.9810	0.9732	—	—

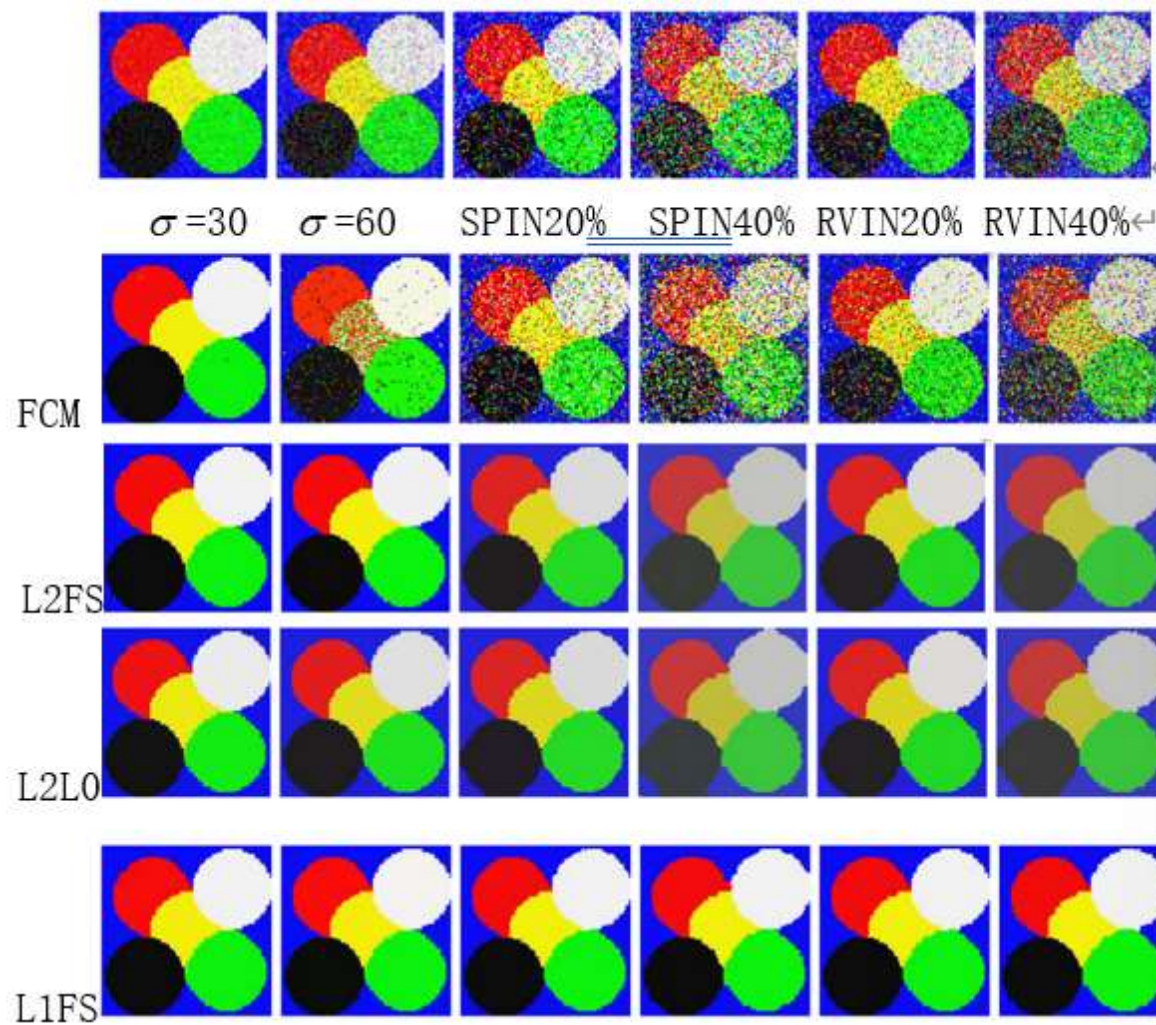
受到 RVIN 噪声影响的图像分割 SA 值对比[←]

RVIN (%)	10	20	30	40	50	60	—	—
FCM	0.8971	0.7992	0.6967	0.6085	0.5196	0.4294	—	—
L2FS	0.9974	0.9957	0.9899	0.9853	0.9841	0.8988	—	—
L2L0	0.9971	0.9955	0.9906	0.9856	0.9727	0.9488	—	—
LIFS	0.9988	0.9963	0.9939	0.9906	0.9881	0.9777	—	—



实验结果

直观分割结果：





杭州电子科技大学
HANGZHOU DIANZI UNIVERSITY

五、文章创新点



保真项：L1范数能够更好的处理被椒盐、脉冲噪声影响和缺失数据的图像

正则化项：使用模糊隶属函数保证了优化方法的收敛性和稳定性。可行集范围更大，从而使得分割结果更加精确。

求解c子问题时使用了模糊中值的方法，能够更好的处理缺失像素的图像，计算效率更高。



杭州电子科技大学
HANGZHOU DIANZI UNIVERSITY

六、与研究课题结合